

УДК 621.372.852.2

## ФАЗОВРАЩАТЕЛЬ ТРОМБОННОГО ТИПА С ДИЭЛЕКТРИЧЕСКИМИ ПЕРЕХОДАМИ

Е.Т. Протасевич

Томский политехнический университет

E-mail: lev@tpu.ru

Описано простое и надежное устройство для согласования подвижного соединения волноводов, уменьшающее паразитное излучение передаваемой СВЧ мощности и исключающее искрение волноводов различного поперечного сечения в местах их контактов.

Фазовращатели (фазосдвигатели) находят широкое применение как в измерительной технике, так и при разработке фазированных антенных решёток. В первом случае их работа происходит на низком уровне мощности (десятки мВт...1 Вт), во втором случае – на высоком уровне мощности (десятки кВт...сотни МВт).

В традиционной конструкции фазовращателя при перемещении диэлектрической пластины внутри волновода можно плавно изменять длину волны  $\lambda_g$  на участке размещения такой пластины и, тем самым, регулировать электрическую длину линии. Другими словами, можно изменять отношение геометрической длины волновода к длине волны  $\lambda_g$ , т.е. осуществлять сдвиг фазы. Такое устройство хорошо работает на низком уровне мощности. Однако размещение диэлектрической пластины внутри волновода резко снижает его электрическую прочность на высоком уровне мощности. Проблема пробоя в волноводном тракте приобретает особую актуальность в 3-х сантиметровом диапазоне длин волн, когда толщина диэлектрической пластины превышает 10 % ширины волновода.

Электрическую длину волновода можно также менять механическим путем. Примером такой конструкции является фазовращатель тромбонного типа, представленный на рис. 1. Электрическая длина линии, а следовательно, и сдвиг фазы выходного сигнала обеспечиваются в нем за счет взаимного перемещения волноводов 1 и 2.

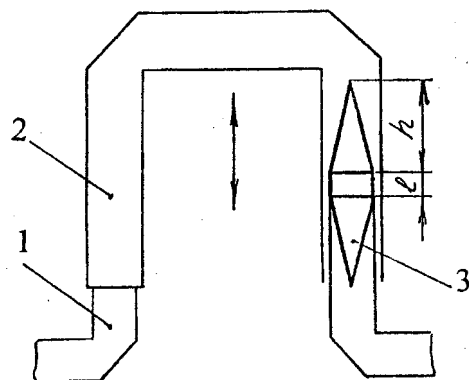
Кроме сдвига фазы существуют и другие инженерные задачи, при решении которых требуется размещение одного волновода внутри другого с последующим взаимным перемещением волноводов. При этом необходимо не только хорошее согласование такого подвижного соединения, но и отсутствие искрения в месте контакта волноводов.

В статическом состоянии фазовращатель тромбонного типа исключает электрический пробой в волноводе. Однако сильные искрения при передаваемой мощности  $P > 10$  кВт делают невозможным его применение в установках большой мощности, когда необходимо осуществлять регулировку фазы. Кроме того, в месте контакта волноводов наблюдается также паразитное излучение СВЧ мощности из-за разрыва путей протекания поверхностных токов, направленных вдоль сочленяемых волноводов.

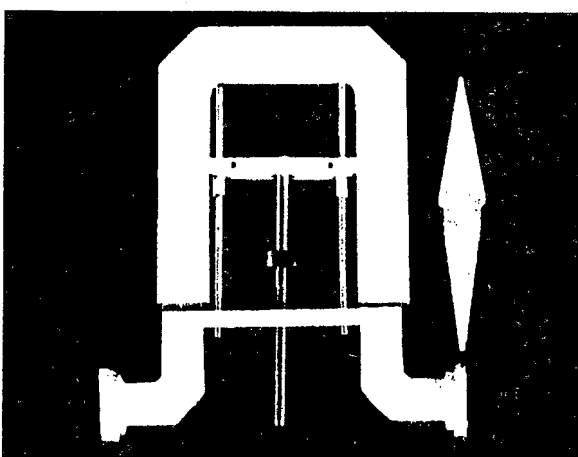
Цель настоящего сообщения – описание фазовращателя со специальным переходом, обеспечивающим хорошее согласование подвижного соедине-

ния волноводов различного поперечного сечения, уменьшающим излучение СВЧ мощности и исключающим искрение в месте контакта волноводов. В качестве примера рассмотрим конструкцию и результаты экспериментальной проверки фазовращателя тромбонного типа.

Для решения поставленной задачи предлагается размещать в месте соединения волноводов специальные вкладыши, выполненные из сплошного диэлектрика, как это показано на рис. 2. Фазовраща-



**Рис. 1.** Схема практического использования диэлектрического перехода, обеспечивающего подвижное соединение волноводов различного поперечного сечения в фазовращателе тромбонного типа:  
1) входной и выходной волноводы; 2) U-образное колено; 3) диэлектрический согласующий вкладыш



**Рис. 2.** Внешний вид фазовращателя (слева) с диэлектрическим вкладышем (справа)

тель изготовлен из стандартных волноводов трехсанитметрового диапазона длин волн: входной и выходной волноводы – 1 имеют поперечное сечение  $23 \times 12 \text{ мм}^2$ , а U-образное колено – 2 имеет сечение  $28 \times 12 \text{ мм}^2$ .

Вкладыши – 3 играют роль диэлектрических антенн [2], концентрирующих на своих вершинах электрическое поле волны. Они представляют собой две пирамидки, обращенные основаниями друг к другу, которые соединяются между собой через прямоугольный участок диэлектрика, заполняющего все поперечное сечение волновода – 1 (рис. 2). В настоящее время еще не разработана теория, корректно описывающая прохождение электромагнитной волны через такой переход. Несмотря на очевидную простоту конструкции устройства, эта теория оказывается чрезвычайно сложной в математическом отношении и требует детального рассмотрения. Не исключено, что она станет предметом дальнейших исследований и последующих публикаций. Отметим лишь, что исключение электрического пробоя в волноводах достигается тем, что электрическое поле волны  $H_{10}$  "отрывается" от металлических стенок волноводов, "прижимается" к диэлектрику и концентрируется преимущественно на вершинах пирамидок. При этом направленность излучения диэлектрических вкладышей возрастает с увеличением их длины. Для нормальной работы устройства на практике оказалось достаточным выполнения условия  $2h + l \geq (3...4) \frac{\lambda_e}{2}$ , где  $h$  – высота пирамидальной части, а  $l$  – длина диэлектрического волновода прямоугольного сечения.

Для изготовления диэлектрических вкладышей пригодны плотный пенопласт, полиметилметакрилат, полистирол или политетрафторэтилен, то есть материалы, обладающие малой диэлектрической проницаемостью (для уменьшения отражений в волновом тракте) и малыми потерями на сверхвысоких частотах.

Два последних материала являются наиболее подходящими для этой цели. Вкладыши пирамидальной формы для лучшего согласования смешены остроконечными вершинами по отношению к широким стенкам волноводов на  $1,5 \dots 2 \text{ мм}$ . Высота их пирамидальной части  $h$  подбирается экспериментально, и обычно оказывается достаточным, чтобы  $h \geq 1,5 \lambda_e$  (где  $\lambda_e$  длина волны в волноводе) при общей длине вкладыша –  $170 \text{ мм}$ . Высота прямоугольного участка вкладышей  $l \leq \lambda_e/4$  и составляет несколько мм. Настройка и градуировка фазовращателя осуществляется с помощью генератора Г3-14А, измерительной линии Р1-12, низкочастотного усилителя и фазовращателя Э4-3.

Принципиально важными являются результаты проверки предлагаемого устройства на высоком уровне мощности. Эксперимент проводился при импульсной мощности генератора  $\sim 40 \text{ кВт}$  ( $P_{cp} = 50 \text{ Вт}$ ). В качестве нагрузки служили или рупорная антенна ( $\rho \leq 1,1$ ), или измеритель СВЧ мощ-

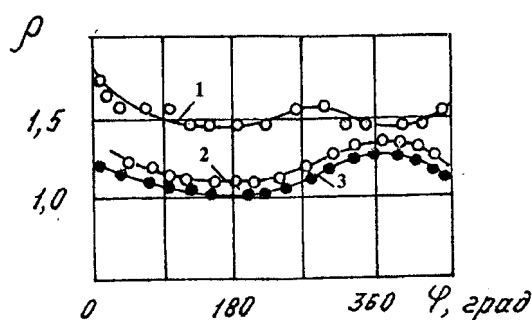


Рис. 3. Изменение коэффициента стоячей волны  $\rho$  в зависимости от фазового сдвига:

- 1) без согласующих диэлектрических вкладышей;
- 2) с вкладышами из полистирола на частоте 9250 МГц;
- 3) то же на частоте 8400 МГц

ности. При отсутствии вкладышей треск и сильные шумы в тракте фазовращателя значительно влияют на работу магнетронного генератора и не позволяют производить нормальное перемещение волноводов из-за возникающего СВЧ пробоя воздуха. Однако введение согласующих вкладышей позволяет практически исключить пробои в местах соединения волноводов и на два порядка по сравнению с предыдущим случаем снизить уровень мощности, излучаемой в пространство и подвижного соединения волноводов различного поперечного сечения. При этом величина мощности, поглощенной двумя вкладышами в фазовращателе, не превышает 3 дБ. Эта величина хорошо согласуется с расчетным значением мощности, полученным на основе экспериментально измеренного коэффициента стоячей волны (КСВ) ( $\rho = 1,06 \dots 1,15$ ), приведенного выше.

На рис. 3, для вкладыша, изготовленного из полистирола, представлена кривая изменения КСВ на входе фазовращателя в зависимости от угла сдвига фазы. При этом КСВ нагрузки составил 1,1. Из рисунка видно, что введение в тракт фазовращателя согласующих вкладышей уменьшает КСВ до  $1,06 \dots 1,15$  при регулировании фазы приблизительно на  $200^\circ$ . С изменением частоты область минимума  $\rho$  изменяется незначительно. Расстояние между максимумами составляет  $\sim \lambda_e/2$ . Согласование устройства зависит от КСВ волноводных Н-изгибов U-образного колена и нагрузки. Для уменьшения влияния нагрузки на фазовращатель перед нагрузкой включается ферритовый вентиль. КСВ U-образного колена между диэлектрическими вкладышами измеряется по методу 4-х емкостных зондов. Эта характеристика слабо зависит от угла сдвига фазы и составляет обычно  $\rho \sim 1,15 \dots 1,25$ .

Частотный диапазон фазовращателя определяется поперечными размерами волноводов – 1 и составляет от 8,2 до 12,5 ГГц. Стабильность во времени фазовращателя практически не зависит от температуры окружающей среды, поскольку изменения геометрических размеров вкладышей на несколько порядков меньше чем длина волны в волноводе.

Таким образом, предлагаемые диэлектрические переходы (вкладыши) обеспечивают надежную работу фазовращателя на высоком уровне мощности.

Их применение позволяет получить также хорошее согласование волноводов с различным поперечным сечением и в случае их неподвижного сочленения.

#### СПИСОК ЛИТЕРАТУРЫ

1. Лебедев И.В. Техника и приборы СВЧ. – М.: Высшая школа, 1970. – 440 с.
2. Протасевич Е.Т. Простые антенны для сверхвысокочастотного зондирования плазмы в вакуумном объеме // Приборы и техника эксперимента. – 1995. – № 6. – С. 90–92.

УДК 378.16:681.3

## ОБЩИЕ ПРИНЦИПЫ АВТОМАТИЗАЦИИ РАЗРАБОТКИ КОМПЬЮТЕРНЫХ УЧЕБНЫХ ПОСОБИЙ В КОМПЛЕКСЕ EduCAD

В.В. Романенко

Томский государственный университет систем управления и радиоэлектроники.  
E-mail: voverkill@asus.tusur.ru

Рассматриваются различные аспекты создания мультимедийных учебных курсов в автоматизированном комплексе разработки компьютерных учебных пособий EduCAD. Приведены особенности написания компонентов комплекса, рассмотрены проблемы, связанные с их программной реализацией.

### Введение

На кафедре автоматизированных систем управления Томского государственного университета систем управления и радиоэлектроники уже в течение нескольких лет коллектив разработчиков занимается проектированием и созданием различных компьютерных учебных пособий (КУП). Возникла необходимость в специализированной среде разработки КУП [1, 2].

На сегодняшний день в состав комплекса EduCAD входят следующие автоматизированные системы (AC):

1. EduCAD Textbook 2.0 – AC разработки гипертекстовых электронных учебников;
2. EduCAD Control – AC контроля знаний. Состоит из двух подсистем – EduCAD Tests и EduCAD Programs, предназначенных для создания пакетов тестирования и проверки программ учащихся. Разрабатывается аспирантом кафедры АСУ М.В. Веретенниковым [3];
3. EduCAD Presentation – AC создания презентационных программ и мультимедийных лекций;
4. EduCAD Practice – динамический шаблон для создания комплексов лабораторно-практических работ по математическим дисциплинам.

Ниже рассмотрены особенности разработки дан-

ных программ и некоторые особенности функционирования КУП, построенных на их основе. Комплекс разрабатывается в среде программирования Borland C++ Builder, что влияет на способы реализации программ, но несложно провести аналогию для других современных компиляторов, строящих приложения для ОС, поддерживающих ядро Win32.

### Особенности представления данных

Основой функционирования комплекса является разработанный автором пакет визуальных компонентов. Самые главные из них – это компонент отображения гипертекстовой информации *THyperText*, компонент отображения векторной графической информации *TVectorPicture*, компонент воспроизведения мультимедийных презентаций *TEduCADPresentation* и компонент шаблона практических работ *TEduCADPractice*.

Компонент *THyperText* имеет встроенный интерпретатор разработанного специально для этих целей языка *ECHTL* (*EduCAD HyperText Language*). Язык разметки построен на теговой основе и имеет следующую структуру:

```
TXT::= e | TAG TXT  
TAG::= <[ / ] NAME[= VAL]> | DATA  
VAL::= #HEX | DEC | STR
```

Здесь *e* – пустой символ, *NAME* – имя тега, пос-